

落下石礫による水叩の侵食についての実験的考察

九州大学農学部 締引 靖

1. はじめに

砂防ダム下流側につくられる水叩が侵食を受ける要因を、先に報告した落下水流における石礫の落ち方の実験¹⁾と関連づけて、引き続き模型実験を行い考察した。

2. 実験方法

水路（落差部より上流側）の勾配と幅員、水理量および石礫の分類については、それぞれ先の報告¹⁾に示した通りである。本実験では、水路落端から水叩面までの落差を1mに設定した。落下水脈の形状を図-1に示す。この部分での石礫の落ち方については、先の報告¹⁾で、落差90cmの水叩面での石礫の落下位置（水平到達距離）の分布を示した。本実験の装置は、図-2に示す通りで、石礫は、ベルトコンベアによって循環する。本装置を循環する石礫の量は、特に水流の運搬能力を考察して定めたが、しかし落差部より落とした石礫は、その後水叩面や、下流のとい上に停止があるので、これらは適宜かき出して流下させた。一方、水叩の材料には、実際のコンクリートに代って、ソイルコンクリートを使用した。これに使用したセメントおよび骨材は、普通ポルトランドセメントおよび赤土である。この水叩の大きさは、縦、横、厚さがそれぞれ、50, 28.5, 5 (cm) であり、図-1に示すような位置に設置した。実験の諸元は、表-1に示すごとくで、各実験の水叩材料に用いた骨材の粒度分布は、表-2に示す通りである。

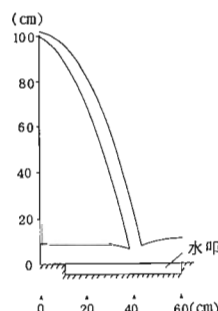


図-1 落下水脈の形状と水叩の配置

3. 結果と考察

表-1に示した実験を行い、得られた結果を示すと、表-3のようになる。なお、水叩材料の性質として、ここでは、圧縮強度（湿潤時）

を測定した。なお、侵食形状については、侵食部の多数の縦断面から、その平均形状を求めた例を図-3に示した。これらによって、以下の考察を行う。

(1)石礫の落下位置と水叩面の侵食形状との関係

図-3 a) ~ c) の侵食形状を、石礫の落下位置の分布¹⁾と比較する。前者を5cm間隔ごとの比率の分布

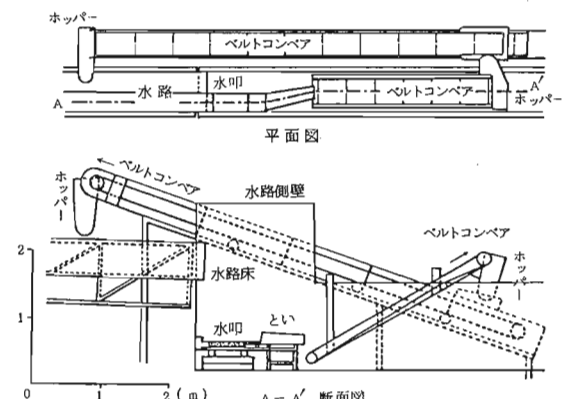


図-2 実験装置

表-1 実験の諸元

実験番号	石礫名	セメント 一骨材比	水セメント比	材齢(日)	実験時間 (分)
1	A	0.3	1.5	7	22
2	A	0.25	2.0	7	40
3	C	0.25	2.0	7	60
4	B	0.25	2.0	8	60
5	A	0.2	2.14	7	40
6	C	0.2	2.14	7	60
7	A	0.2	2.41	7	30
8	A	0.2	2.41	7	60

表-2 各実験に用いたソイルコンクリート骨材の累加粒度分布

実験番号 (粒径) cm	1	2, 3, 4	5, 6	7, 8
0.074	4.75(%)	9.20(%)	6.60(%)	12.7(%)
0.105	11.7	12.9	9.70	16.3
0.25	34.4	29.1	25.5	33.1
0.42	55.2	44.1	40.8	47.0
0.84	84.8	72.7	69.8	73.0
1.68	100	100	100	100

表-3 実験結果

実験番号	水叩の圧縮強度 (kgf/cm²)	石礫の落下個数(個)	水叩の侵食量 (cm)
1	3.87	1290	568
2	11.8	2435	304
3	11.8	7134	303
4	12.6	5139	316
5	12.9	2400	254
6	12.9	8003	287
7	7.18	1885	312
8	7.18	3464	724

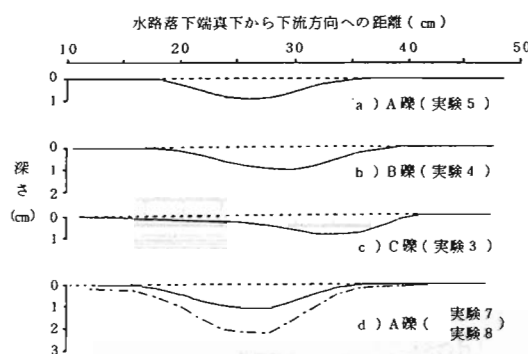


図-3 水叩面侵食部の平均縦断面形状

に変え、また、後者を、個別落下の分布の例について、それぞれ描いたものが、図-4である。ここでは、侵食形状の分布の方が、なだらかになる傾向を示しているが、最頻値の位置は、ほぼ一致し、また石礫の落下範囲外では、侵食は生じていない。この傾向は、他の落下位置の分布で比較しても同一である。したがって、水叩面に生ずる侵食は、石礫の衝突によって起こると考えられる。侵食形状の方が、なだらかな分布を示す理由として、深掘れの位置ほど、石礫が多くたまり、落下石礫の水叩への衝突が阻害されることが考えられる。なお、水脈の落下点近傍およびこの下流で、侵食量は小さいことから、落下水の衝突および石礫の下流への移動に伴う侵食は、ほとんど生じないと考えられる。

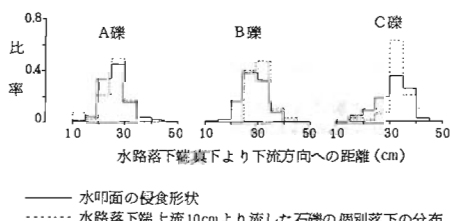


図-4 水叩面の侵食形状と石礫の落下位置の分布の比較

(2)水叩の侵食量と諸要因との関係

ここでは、諸要因のうち、①石礫の落下個数、②水叩の圧縮強度について考察する。まず、表-3より、A礫(実験1, 2, 5, 7, 8)の場合について、侵食量と、落下個数ならびに圧縮強度それぞれとの偏相関係数を求め、表-4に示した。

表-4 水叩の侵食量と関連要因との偏相関係数(A礫)

侵食量と石礫の落下個数	0.88
侵食量と水叩の圧縮強度	-0.93

①については、A礫の場合によって考察する。同一配合で作製した同一材質の2つの水叩に、異なる個数を落下させた場合、すなわち、実験7, 8を比較する。図-3d)の侵食形状を見ると、8は7に比べ、一様な割合で、その深さが増加していることがわかる。一方、表-3の侵食量と落下個数との関係を描くと、図

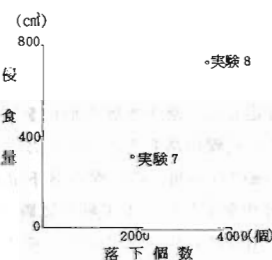


図-5 石礫の落下個数と水叩の侵食量との関係

②では、A, C

の各礫について、石礫の落下個数が同規模の場合、すなわち、A礫については、実験2, 5, C礫については、実験3, 6をそれぞれ比較する。表-3の侵食量と圧縮

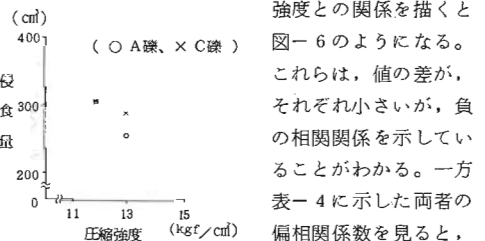


図-6 水叩の圧縮強度とその侵食量との関係

強度との関係を描くと図-6のようになる。これらは、値の差が、それぞれ小さいが、負の相関関係を示していることがわかる。一方表-4に示した両者の偏相関係数を見ると、同様に負の相関関係にあることがわかる。したがって、ここでは、圧縮強度が小さいほど、

侵食量は大きくなると判断できる。

引用文献

(1) 編引録：日林九支研論 35, 275～276, 1982